

همبستگی رئولوژی انبساطی سطح و فراوری بلورهای مایع مواد دو بعدی: بررسی موردی فازهای مختلف بلور مایع اکسید گرافن

محمدعلی سنجرجی شهرضائی^۱، سید محمد رضا طاهری^۲ و سید حامد ابوطالبی^{۱ و ۳}

۱. مؤسسه رهیافت‌های نوآور برتر پاسارگاد، تهران

۲. آزمایشگاه ملی ماده چگال، پژوهشگاه دانش‌های بنیادی، تهران

۳. پژوهشکده علوم نانو، پژوهشگاه دانش‌های بنیادی، تهران

پست الکترونیکی: hamedaboutalebi@ipm.ir

(دریافت مقاله: ۱۳۹۹/۰۶/۲۳؛ دریافت نسخه نهایی: ۱۳۹۹/۰۶/۳۱)

چکیده

نانوشارهای حاوی صفحات دو بعدی اکسید گرافن (GO) بر پایه آب به دلیل نسبت منظری بالا، به طور ذاتی امکان تشکیل فاز نماتیک-که یکی از فازهای سامانه‌های بلور مایع است- را دارا هستند. در این مطالعه نشان داده است که خواص ویسکوالاستیک منحصر به فرد اکسید گرافن، آن را در دسته‌ای جدید از مواد نرم قرار می‌دهد. بر اساس یافته‌های بنیادی حاصل از این پژوهش، می‌توان راهبردهایی جدید برای توسعه پروتکل‌های ساخت مواد نرم دو بعدی به صورت کاربردی با استفاده از تکنیک‌های فراوری مرسوم تدوین کرد. محدوده‌های غلظتی مربوط به فازهای همسانگرد، دو فازی و ناهمسانگرد (نماتیک) بر اساس نتایج تصویربرداری با نور قطبیده تعیین شد. استفاده از صفحات دو بعدی با نسبت منظری بالا (بالاتر از ۳۵۰۰۰) منجر به کاهش غلظت شروع منطقه دوفازی یعنی $0/05\text{ g/cm}^2$ به غلظت $0/25\text{ g/cm}^2$ بر لیتر شد. رئولوژی برشی و انبساطی سطح نشان داد که با تشکیل فاز بلور مایع، میزان مدول در نواحی با سامد کم، چهش چشمگیری داشته و با تشکیل فاز کاملاً نماتیک میزان مدول در این ناحیه مستقل از سامد بوده که بیان کننده رفتار جامدگونه است. نتایج به دست آمده نشان داد که ترکیب غلظت کم صفحات دو بعدی در محیط پشتیبان به همراه مدول بالا، امکان استفاده از تکنیک‌های مختلف فراوری مانند تریسی، الکترواسپری و چاپگرهای دو بعدی و سه بعدی را برای فرمولاسیون‌های بر پایه اکسید گرافن فراهم می‌سازد.

واژه‌های کلیدی: مواد دو بعدی- بلور مایع- اکسید گرافن- ساخت افزایشی- رئولوژی انبساطی سطح

۱. مقدمه

اپتیکی و مکانیکی کاربردهای وسیعی در زمینه‌های همچون اپتوالکترونیک، فناوری‌های زیستی، حسگرها و ... دارند [۱-۳]. مواد دو بعدی با توجه به مساحت سطح بسیار زیاد و این ویژگی‌ها در برخی موارد سبب دستیابی به خصوصیاتی ویژگی‌های فوق العاده نظیر خواص الکتریکی، الکتروشیمیایی،

منظور بررسى رفتار رئولوژی اين فازها به عنوان ابزارى مناسب در جهت ارزیابی عملکرد شکل‌گيری و نیز شناسایی رفتار و ریز ساختارها مورد توجه ویژه قرار می‌گيرد. از جمله ابزارهای مورد استفاده در رئولوژی استفاده از روش‌های رئولوژی انبساطی سطح، به عنوان روشی كمتر شناخته شده، است. رئولوژی انبساطی ابزاری قدرتمند برای بررسی خواص تعادلی و دینامیکالیهای سطحی ساده و یا خیلی پیچیده شامل عوامل فعال سطحی^۱، پروتئین‌ها، پلیمرها یا ذرات با ابعاد میکرومتر و نانومتر است [۱۶]. مدول انبساطی سطح به طور مستقیم از اختلاف فاز تغییرات سطح جانبی و پاسخ آن در کشش سطحی قابل محاسبه است.

در اين پژوهش با بررسی فازهای متفاوت اکسید گرافن در آب، روند تحولات رفتار رئولوژی برشی و انبساطی سطح مورد مطالعه قرار می‌گيرد و با استفاده از اين داده‌ها، محدوده‌های لازم به منظور فراوری اين مواد تبيين می‌شود.

۲. مواد و آزمون‌ها

۱.۱. تهیه اکسید گرافن

اکسید گرافن مورد استفاده در اين مطالعه به روش هامرز بهبود یافته که در مقالات قبلی گروه به صورت کامل توضیح داده شده است، تهیه شد [۱۰، ۱۷ و ۱۸].

۲.۲. آزمون‌ها

آزمون‌های رئومتری توسط دستگاه (Anton Paar) MCR ۳۰۱ با مختصات مخروط و صفحه با قطر مخروط ۷۵ میلی‌متر و زاویه یک درجه انجام شد. کشش سطحی با دستگاه OCA ۱۰۰ OCA (dataphysics) در هوا اندازه‌گيری شد. آزمون‌های رئولوژی انبساطی با کمک تجهیز جانی^۲ ODG از همین شرکت انجام شد. تصاویر میکروسکوپ نوری با استفاده از میکروسکوپ نوری پولاریزان (Leica) M DM^۳ در دو مد میکروسکوپی میدان روشن و قطبیده گرفته شد. تصاویر میکروسکوپ نیروی اتمی با استفاده از دستگاه (Asylum Research) MFP-3D و در

۱. Surfactant

۲. Oscillating drop generation

کاملاً جدید می‌شوند و در بسیاری از موارد موجب افزایش چشمگیر خواص آن ماده نسبت به خصوصیات ثبت شده آن مواد در حالت سه بعدی می‌شود [۴ و ۵]. تا به امروز روش‌های متفاوتی برای تهیه مواد دو بعدی ارائه شده‌اند. از جمله اين روش‌ها می‌توان به روش رسوب‌دهی شیمیابی بخار [۶] و لایه‌برداری مکانیکی [۷]، لایه‌برداری الکتروشیمیابی [۸] و لایه‌برداری در حللا [۹] اشاره کرد. در اين میان، روش‌های شیمیابی تولید مواد دو بعدی و لایه‌برداری در حللا به دليل هزینه پایین مناسب تولید در مقیاس صنعتی هستند [۱۰]. اکسید گرافن به دليل برخورداری از ساختار دو بعدی با نسبت منظری بالا و با توجه به رفتار کلوئیدی آن در آب، توانایی تولید فازهای بلور مایع را در حللا مختلف دارد [۱۰ و ۱۱]. به همین دليل مطالعات بسیار زیادی در مورد رفتار بلور مایع اکسید گرافن در آب در طی دهه اخیر انجام شده است [۱۰، ۱۱ و ۱۲].

یکی از موارد بسیار مهم در تبیین خصوصیات این مواد، بررسی رفتار رئولوژی منحصر به فرد آنهاست [۱۳-۱۵]. این رفتار از ساختار تک لایه‌ای این مواد به صورت نانوصفحات دو بعدی نتیجه می‌شود. شناسایی این رفتار در فرایندهای مانند ریسنده‌گی، اسپری کردن، چاپ دو بعدی و سه بعدی و ساخت کامپوزیت‌های خود آرایش یافته^۱ با استفاده از اصول اولیه فرایندهای زیست تقلیدی^۲ به منظور دستیابی به ساختارهایی با عماری‌های سه بعدی پیچیده هندسی برای استفاده در کاربردهایی مانند الکترونیک چاپی، ترانزیستورهای اثر میدانی آلی و داربست‌های بیونیک سه بعدی از اهمیت زیادی برخوردار است [۱۴]. علاوه بر این، فازهای ناهمسانگرد بلور مایع قابلیت آرایش یافتنگی در صورت اعمال میدان‌های الکتریکی و مغناطیسی را دارند. چنین خصوصیتی در صورت ایجاد ساختار کاملاً آرایش یافته در سیال و تبدیل نهایی آن به الیاف از طریق فرایند تریسی و یا چاپ سه بعدی، سبب بهبود بسیار زیاد خواص مکانیکی می‌شود. به همین دليل شناسایی ساختار آرایش یافته ذرات در تمامی فرایندهای ساخت مواد دو بعدی به دست آمده در فاز مایع حائز اهمیت است. به این

عبوری در نتیجه $\left(\frac{l}{d}\right)$ دو شکستی^۳ ایجاد خواهد شد که در نتیجه آن نور تابیده شده می‌تواند از نمونه خارج شود و نمونه روشن‌تر دیده شود. در شکل ۱ چیدمان استفاده شده برای تصویر برداری از فاز بلور مایع به صورت طرحواره و تصاویر نور قطبیده شده برای نمونه‌ها با غلظت‌های متفاوت نشان داده شده است. در غلظت $0/01$ گرم بر لیتر، یکنواختی تصویر و تصویر تاریک به دست آمده از میکروسکوپ JEOL JSM-7500FA همسانگردی نمونه، از چیدمان آورده شده در شکل ۱. الف استفاده شده است. در این چیدمان، نمونه در بین دو قطبشگر خطی عمود بر هم قرار گرفته است. در صورتی که نمونه کاملاً همسانگرد باشد، با توجه به عمود بودن قطبشگرها، باید کاملاً تاریک دیده شود. اما هر مقدار ناهمسانگردی در نمونه، باعث تغییر قطبش نور عبوری خواهد شد که در نتیجه نمونه روشن‌تر دیده خواهد شد.

چاپ دو بعدی فاز بلور مایع اکسید گرافن روی کاغذ و شیشه توسط دستگاه اختصاصی سازی شده

قسمت‌هایی از نمونه هاله‌ایی تشکیل می‌شود در حالی که در قسمت‌هایی دیگر دستگاه هاله‌ها دیده نمی‌شوند (شکل ۱. ج). این هاله‌ها همان نواحی بلور مایع است که به دلیل ایجاد نظم باعث ایجاد تغییرات در قطبش نور قطبیده شده اولیه می‌شود و در نتیجه آن نواحی بلور مایع قابل مشاهده می‌شوند. غلظت‌های میانی حالت نماتیک و همسانگرد که دارای هر دو فاز ایزوتrop و بلور مایع هستند را ناحیه دو فازی می‌نامند. با افزایش غلظت به $0/25$ گرم بر لیتر شاهد نواحی تاریک و روشن در نمونه هستیم. این نواحی، همان بافت شلیرین^۳ است که سبب دیده شدن و تشخیص ساختار بلور مایع نماتیک می‌شود (شکل ۱. د). در این غلظت، فاز نماتیک به صورت کامل تشکیل شده است. در شکل تأثیر میدان الکتریکی بر نواحی بلور مایع نشان داده است. در غلظت $0/01$ گرم بر لیتر با اعمال میدان، شاهد تشکیل مقدار بسیار کمی فاز نماتیک هستیم. علت این پدیده آن است که با اعمال میدان الکتریکی، تنش برشی در دستگاه ایجاد شده که سبب جهت‌گیری مژوژن‌ها در راستای عمود بر میدان می‌شود. با افزایش غلظت به $0/05$ گرم بر لیتر و ورود به ناحیه دو فازی شاهد تشکیل مژوژن‌های نماتیک به میزان بیشتر و آرایش یافته‌گی بیشتر این

مد غیر تماسی و در شرایط محیطی گرفته شد. تصاویر میکروسکوپ الکترونی رویشی با استفاده از دستگاه JEOL JSM-7500FA ثبت شد. به منظور بررسی مقدار همسانگردی نمونه، از چیدمان آورده شده در شکل ۱. الف استفاده شده است. در این چیدمان، نمونه در بین دو قطبشگر خطی عمود بر هم قرار گرفته است. در صورتی که نمونه کاملاً همسانگرد باشد، با توجه به عمود بودن قطبشگرها، باید کاملاً تاریک دیده شود. اما هر مقدار ناهمسانگردی در نمونه، باعث تغییر قطبش نور عبوری خواهد شد که در نتیجه نمونه روشن‌تر دیده خواهد شد.

چاپ دو بعدی فاز بلور مایع اکسید گرافن روی کاغذ و شیشه توسط دستگاه اختصاصی سازی شده

نقاطی SL-128AA (Dimatix) صورت گرفت.

فرایند تریسی با استفاده از دستگاه دست‌ساز تولید الیاف انجام پذیرفت. چاپ سه بعدی فاز بلور مایع اکسید گرافن با دستگاه EnvisionTec انجام شد.

۳. نتایج

۱.۳. فازهای بلور مایع

در سیال‌های حاوی ذرات غیر متقارن، با افزایش غلظت، به دلیل محدودیت فضایی ایجاد شده، ذرات می‌توانند به صورت نسبتاً منظم در یک راستا ولی بدون داشتن نظم موضعی قرار گیرند. این نواحی را به اصطلاح نواحی بلور مایع می‌نامند. تشکیل این نواحی با افزایش نسبت منظری ذرات $\left(\frac{l}{d}\right)$ در غلظت‌های پایین‌تر انجام می‌پذیرد. در این رابطه l طول یا بزرگترین بعد ذره و d قطر یا ضخامت ذره است. در این چیدمان نمونه در بین دو قطبشگر^۱ خطی عمود بر هم قرار گرفته است. در صورتی که نمونه کاملاً همسانگرد باشد، با توجه به عمود بودن قطبشگرها، نمونه کاملاً تاریک دیده می‌شود. اما با ایجاد ناهمسانگردی در نمونه، تغییر قطبش نور

۲. Birefringence

۳. Schlieren texture

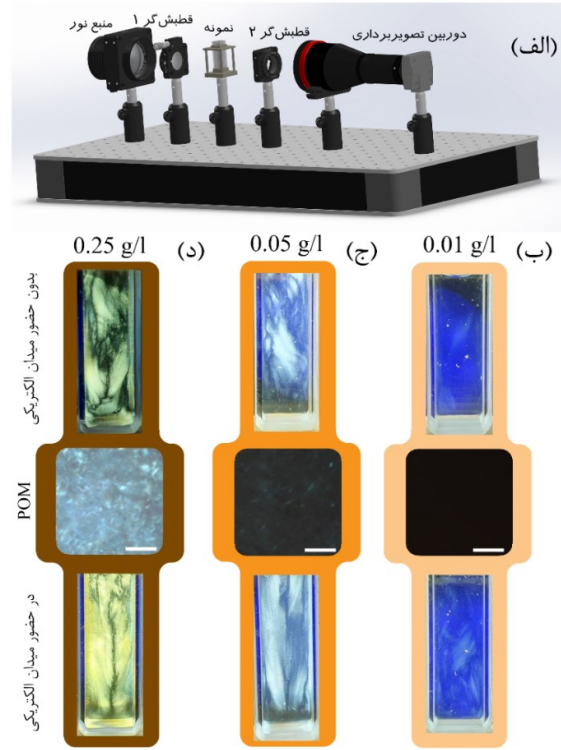
۱. Polarizer

ميكروسكوب نيروى اتمى (۲. ب) لايدها گرفته شد و با استفاده از نرم افزار با دسترسى آزاد Fiji بر پايه Imagej [۱۹] تعداد بيش از ۲۰۰ صفحه اكسيد گرافن مورد بررسى قرار گرفتند و نسبت منظري آنها مورد محاسبه قرار گرفت (۲. ج). نسبت منظري محاسبه شده 36887 ± 22265 به دست آمد. چنان منظري محاسبه شده 36887 ± 22265 به دست آمد. چنان

نسبت منظر بالايي سبب ايجاد مزوژن های نماتيک در غلظت های بسيار پاين می شود که در ادامه، در صورت وجود استحکام کافي، موجب توانايي استفاده از اين دستگاه ها به عنوان جوهر چاپي در چاپگرهای سه بعدی و جوهر افشار می شود. به منظور بررسى استحکام ساختار و نحوه شارش بلور مایع به دست آمده، مطالعات رئولوژي برای اين ساختارها انجام شد.

۲.۳. رئولوژي انبساطی نوسانی و محاسبه مدول انبساطی سطح

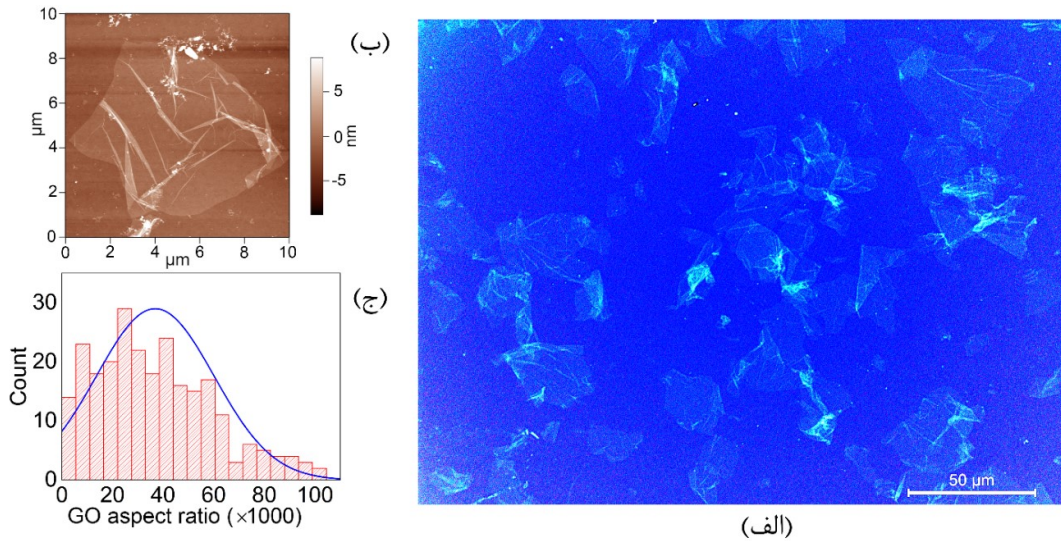
در فرایندهای ساخت افزايشی نظير چاپ سه بعدی، خواص واکنش بین سطحی^۱ و شارش بین سطحی نقش بسيار مهمی ايفا می کنند [۱۶]. در مواردي که مولکول ها و يا ساختارهای قرار گرفته بر روی سطح، بخش های آب دوست و آب گريز داشته باشند، چنان نقشي اهميت بسيار بيشتری می يابد؛ چرا که پايداري قطره به شدت به برهمنكش های سطحی وابسته است. با اين حال و با وجود چنین اهميتی، اندازه گيری های رئولوژی انبساطی سطحی در بسياری از موارد نادیده باقی مانده اند. در اندازه گيری رئولوژی انبساطی که بر روی يك قطره از شاره انجام می شود، شكل ۳. الف، حجم قطره به صورت نوسانی تغيير می کند. اين کار با محدود کردن حجم و ايجاد نوسان در ديافراگمي که در مسیر شاره تعبيه شده انجام می شود. همزمان با تغييرات حجم، توسط يك دوربين از قطره تصوير برداری شده و مقدار سطح تصوير قطره با توجه به حجم آن محاسبه می شود. در نهايit با تحليل تصاویر، تغييرات مربوط به سطح تصوير قطره و واکنش بین سطحی بر حسب تعداد دفعات رسم می شود (شکل ۳)، اين نمودارها برای نمونه کاملاً نماتيک



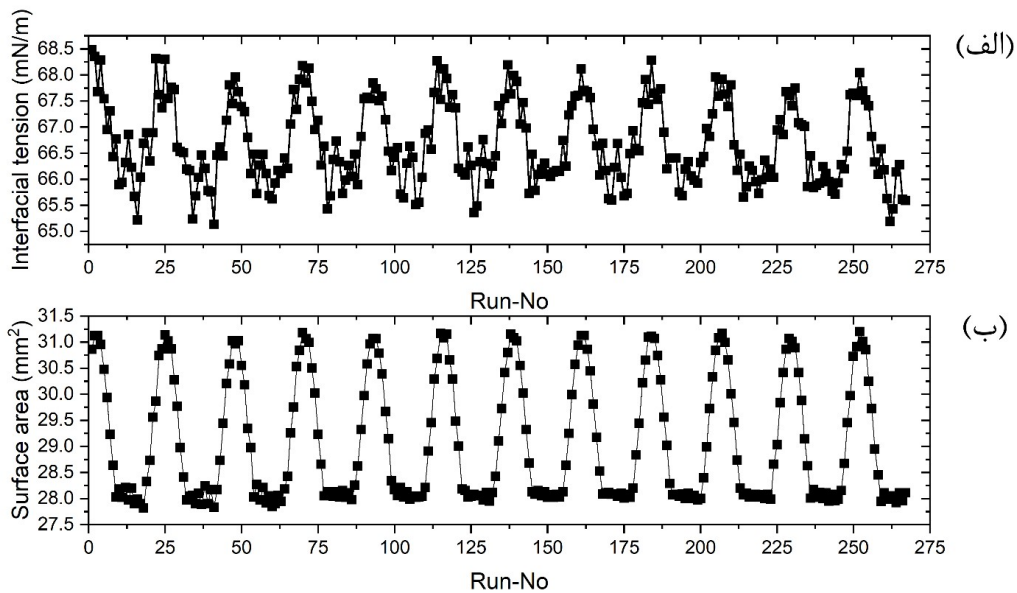
شکل ۱. (الف) چيدمان استفاده شده برای تصويربرداری از فاز بلور مایع به صورت طرحواره و تصاویر نور قطبیده شده برای نمونه اكسيد گرافن در غلظت های (ب) ۰/۰۵، (ج) ۰/۰۱ و (د) ۰/۲۵ گرم بر ليتر.

نواحي هستيم. با ورود به ناحيه نماتيک در غلظت ۰/۲۵ گرم بر ليتر، نواحي نماتيک سمت دو الکترود مرتب شده اند. همان گونه که گفته شد، اين رفتار شبيه پديده ايجاد مزوژن های نماتيک در ميدان برشی است که در قسمت بعدی به صورت مفصل به آن پرداخته می شود. شایان توجه است که چنین غلظتی، پاين ترين غلظت گارش شده برای تشکيل هر نوع بلور مایع است. دليل تشکيل فاز نماتيک در چنین غلظتی، نسبت منظری بسيار بالاي صفحات اكسيد گرافن (بالاتر از ۳۵۰۰۰) است (شکل ۲). برای محاسبه نسبت منظری، صفحات دو بعدی تولید شده اكسيد گرافن با استفاده از دستورالعمل داده شده در مقاله های پيشين روی زيرلایه های اكسيد سيلikon قرار داده شد. سپس تصاویر ميكروسكوب نوری (۲. الف) و

۱. Interfacial tension



شکل ۲. (الف) تصویر میکروسکوپ نوری صفحات دو بعدی اکسید گرافن، (ب) تصویر میکروسکوپ نیروی اتمی یک تک صفحه دو بعدی اکسید گرافن و (ج) نمودار توزیع نسبت منظری صفحات اکسید گرافن اندازه گیری شده برای بیش از ۲۰۰ نمونه و توزیع نرمال برآورده شده.



شکل ۳. تغییرات (الف) سطح تصویر قطره و (ب) واکنش بین سطحی در میدان نوسانی انبساطی برای نمونه اکسید گرافن ۰/۲۵ گرم بر لیتر.

$$A = A_0 + \tilde{A} \sin(\omega t + \varphi_A), \quad (1)$$

$$\gamma = \gamma_0 + \tilde{\gamma} \sin(\omega t + \varphi_\gamma). \quad (2)$$

که A و γ به ترتیب مساحت تصویر قطره و واکنش بین سطحی قطره، A_0 و γ_0 مقدار اولیه از مساحت تصویر قطره و

اکسید گرافن در غلاظت ۰/۲۵ گرم بر لیتر آورده شده است. در ادامه می‌بایست این تغییرات را با استفاده از یک معادله سینوسی برآورش کرد. برای هر کدام از تغییرات معادلاتی همانند معادله ۱ و ۲ خواهیم داشت.

قادر به افشه کردن و پوشش سطوح به دلیل جلوگیری از اغتشاشات رانشی که معمولاً در سیالات گرانزو مشاهده می شود، خواهیم بود. معمولاً در شاره های گرانزو بدون داشتن مؤلفه الاستیک، امکان افشه کردن به دلیل از بین رفتان ساختار وجود ندارد. با افزایش غلظت اکسید گرافن شبیه تغییرات مدول ذخیره و اتلاف در بسامدهای پایین کاهاش می یابد که بیان کننده رفتار جامد گونه ماده است. همان طور که اشاره شد تشکیل ساختار ذرات اکسید گرافن حتی در مقادیر پایین منجر به نمایان شدن رفتار جامد گونه است. این نوع رفتار از نسبت منظری بالای این ذرات نتیجه می شود.

همان طور که مشاهده می شود میزان مدول در بسامدهای پایین در کمترین مقادیر از اکسید گرافن نیز دستخوش تغییر شده است. این رفتار در مقادیر بالاتر از اکسید گرافن به گونه ای است که میزان این مدول در بسامدهای پایین مستقل از بسامد بوده و این بیان کننده رفتار جامد گونه از این نمونه است.

در ادامه به بررسی رئولوژی برشی این نمونه ها می پردازیم. در شکل ۵ طرحواره ای از نوع و جهت نیروهای اعمال شده بر نمونه طی آزمون های رئولوژی برشی (شکل ۵.الف) و رئولوژی انبساطی (شکل ۵.ب) نشان داده شده است. در آزمون رئولوژی برشی تنش ها به صورت برشی (τ) اعمال شده و نمونه در راستای اعمال تنش به مقادیر $\Delta\alpha$ ۷۴ دچار تغییر شکل می شوند. در نتیجه این اندازه گیری مقادیر گزارش شده برای نسبت تنش به کرنش، مدول برشی (G) خواهد بود. در صورتی که، در آزمون رئولوژی انبساطی جهت نیرو به طور عمود (F) بر سطح شاره بوده و تغییر شکل اعمال شده برابر تغییرات مساحت تصویر قطره باشد که خود متأثر از تغییر حجم قطره است. به همین خاطر نوع مدول محاسبه شده در این آزمون مدول کششی (E) است.

۳. رئولوژی برشی خطی و غیرخطی

مدول برشی مختلط بر حسب بسامد برای غلظت های متفاوت اکسید گرافن بیان کننده تحولاتی در ریز ساختار این ماده است (شکل ۶.الف). با افزایش غلظت به ۰/۰۵ گرم بر لیتر تغییر

واکنش بین سطحی، \tilde{A} و آن به ترتیب مقدار دامنه نوسانات مساحت تصویر قطره و واکنش بین سطحی، φ بسامد تغییرات و φ اختلاف فاز است.

برای محاسبه مدول انبساطی سطح می توان از رابطه زیر استفاده کرد [۱۶].

$$(3) E = \frac{d\gamma}{d\ln A},$$

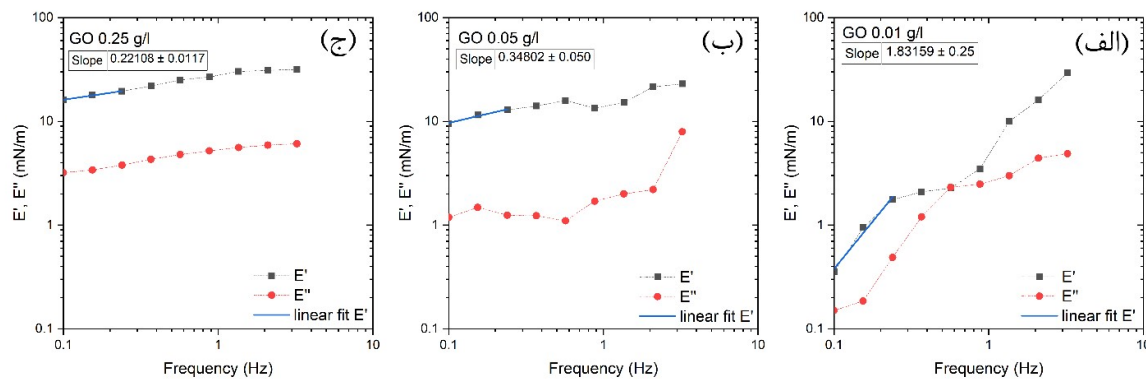
که γ واکنش بین سطحی و A مساحت تصویر قطره است. در دستگاه های نوسانی، مدول انبساطی سطحی یک مقدار مختلط است که از دو جزء حقیقی ('E) که بیان کننده مدول ذخیره و جزء موهومی ('E') که بیان کننده مدول اتلاف است تشکیل شده است.

$$(4) E^* = E' + iE''.$$

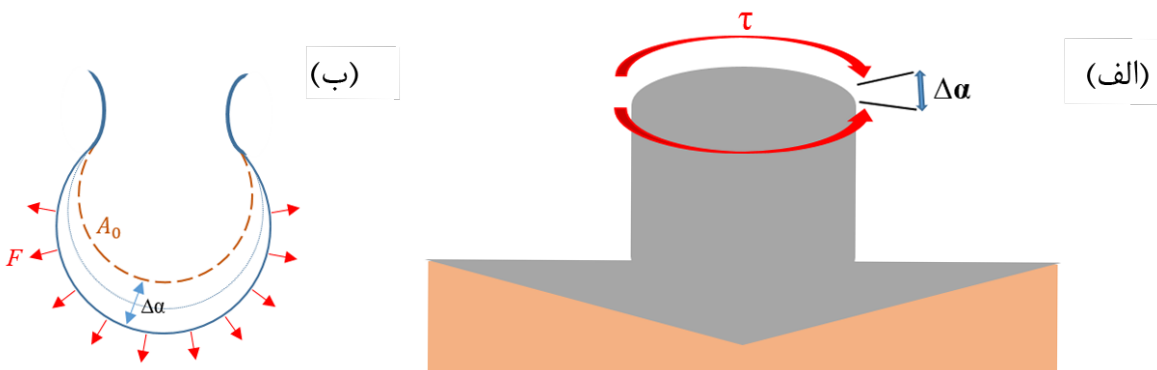
اندازه E را می توان از رابطه ۵ به دست آورد.

$$(5) |E| = A \frac{\tilde{\gamma}}{\tilde{A}}.$$

در شکل ۴ تغییرات مدول انبساطی بر حسب بسامد برای نمونه های اکسید گرافن در آب نشان داده شده است. باید در نظر گرفت که برای دستگاه های مایع و همسانگرد در محدوده بسامدهای بزرگ، میزان مدول ذخیره بیشتر از مدول اتلاف است. با کاهاش بسامد مقدار مدول اتلاف و ذخیره برابر شده و در ادامه مقادیر مدول اتلاف بیشتر از مدول ذخیره می شود. این روند از مدول ذخیره و مدول اتلاف نشان دهنده رفتار مایع گونه است. هر چقدر شبیه تغییرات مدول ذخیره در نواحی با بسامد پایین نزدیک تر به ۲ (حد رفتار ماکسول) باشد، رفتار دستگاه به رفتار مایعات کامل شبیه تر می شود و در ادامه با دور شدن از شبیه ۲ و نزدیک تر شدن هر چه بیشتر به صفر، رفتار سیستمی به رفتار جامدات نزدیک تر می شود و دستگاه خصوصیات جامد گونه از خود نشان می دهد. برای نمونه اکسید گرافن با غلظت ۱/۰۱ گرم بر لیتر (شکل ۴.الف) در محدوده بسامد ۷۵/۰ هرتز شاهد تلاقي مدول ذخیره و اتلاف بوده و از طرف دیگر شبیه تغییرات مدول ذخیره در بسامدهای پایین به ۱/۸۳ تقلیل یافته است. این موضوع نشان دهنده این است که به طور خاص در این نمونه با سطح بالایی از کترل، به راحتی



شکل ۴. تغییرات مدول ذخیره و اتلاف بر حسب بسامد برای نانو سیال اکسید گرافن در آب در غلظت‌های مختلف (نتایج حاصل از رئولوژی انبساطی سطح).

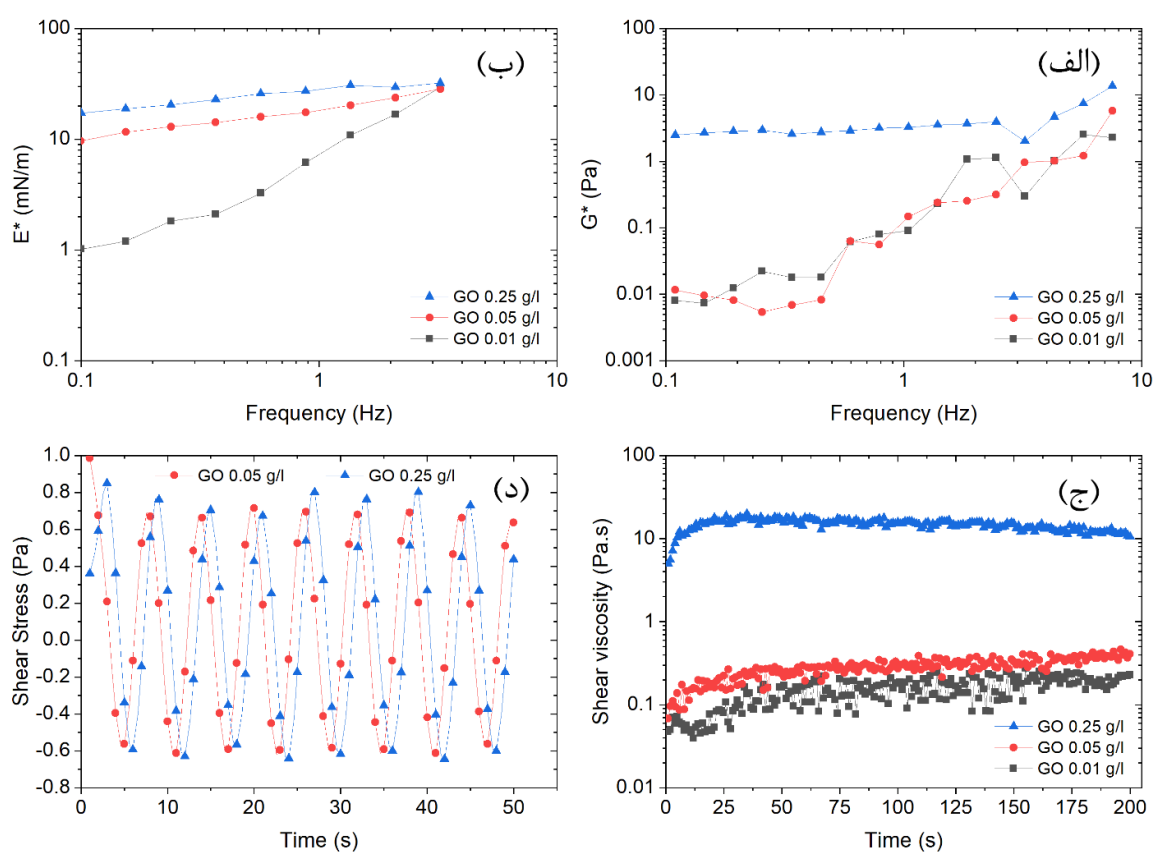


شکل ۵. نوع و جهت نیروها و کرنش اعمال شده بر نمونه در آزمون‌های رئولوژی (الف) برشی و (ب) انبساطی.

همسايگي يكديگر قرار گرفته اند تجربه می‌شود. در اين منطقه رفتار جامدگونه (ژل ضعيف) توسط دستگاه در تمامي ثابت‌های زمانی مشاهده می‌شود که نشان از کند بودن بازارآرایي دستگاه، در نتيجه وجود مدول الاستيک قابل توجه، است. در نتيجه اين مرحله را می‌توان مرحله آستانه ورود به ناحيۀ مناسب برای فرایند ترريسي و سايپ فرایندهای مناسب برای فراوری ژلهای ضعيف دانست. با اين حال داده‌های به دست آمده از رئولوژي برشی به تنهائي برای توضيح اين موضوع كافی نیستند. برای به دست آوردن تصویری بهتر از نحوه شكل‌گيری فاز نماتيک، مدول انبساطی سطح مختلط اندازه‌گيری شد (شکل ۶. ب). باید توجه داشت که اندازه‌گيری اين مدول با اندازه‌گيری پاسخ نيروي اعمالي در سطح مشترك مایع و هوا انجام می‌پذيرد و در

۳.۳. رئولوژي برشی خطى و غيرخطى

مدول برشی مختلط بر حسب بسامد برای غلظت‌های مختلف اکسید گرافن بيان کننده تحولاتي در ريز ساختار اين ماده است (شکل ۶. الف). با افزایش غلظت به ۰/۰۵ گرم بر لیتر تغيير ملموسی در مدول برشی مشاهده نمي‌شود اما افزایش غلظت به ۰/۲۵ گرم بر لیتر منجر به افزایش مدول در بسامدهای پابيان شده و تغييرات آن تقربياً مستقل از بسامد است. اين گونه رفتار ناشي از تشکيل شبکه ذرات در سистем و رفتار ژل گونه است. با توجه به تصاویر نور قطبide شده، تشکيل فاز نماتيک موجب پدیدار شدن اين رفتار شده است. اين رفتار نشان دهنده ازدحام ذرات و در نتيجه ژل شدن دستگاه، به دليل برهمنش‌های دافعه‌ای، است که توسط صفحات اکسید گرافن که در

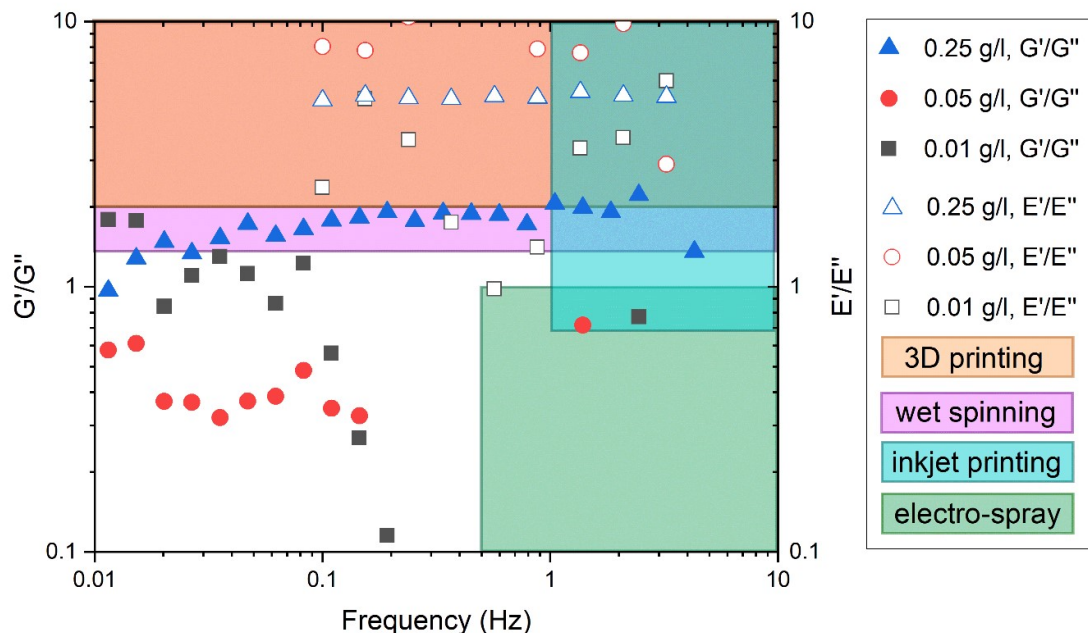


شکل ۶. (الف) تغییرات مدول مختلط با بسامد برای اکسید گرافن با غلظت‌های متفاوت، (ب) تغییرات مدول انساطی مختلط در بسامدهای مختلف برای اکسید گرافن با غلظت‌های متفاوت، (ج) تغییرات و کشسانی برشی با زمان در سرعت برش ۰/۰۵ ° بر ثانیه برای اکسید گرافن با غلظت‌های متفاوت و (د) تغییرات گرانزوی برشی بر حسب زمان در سرعت برش ۱۰ ° بر ثانیه.

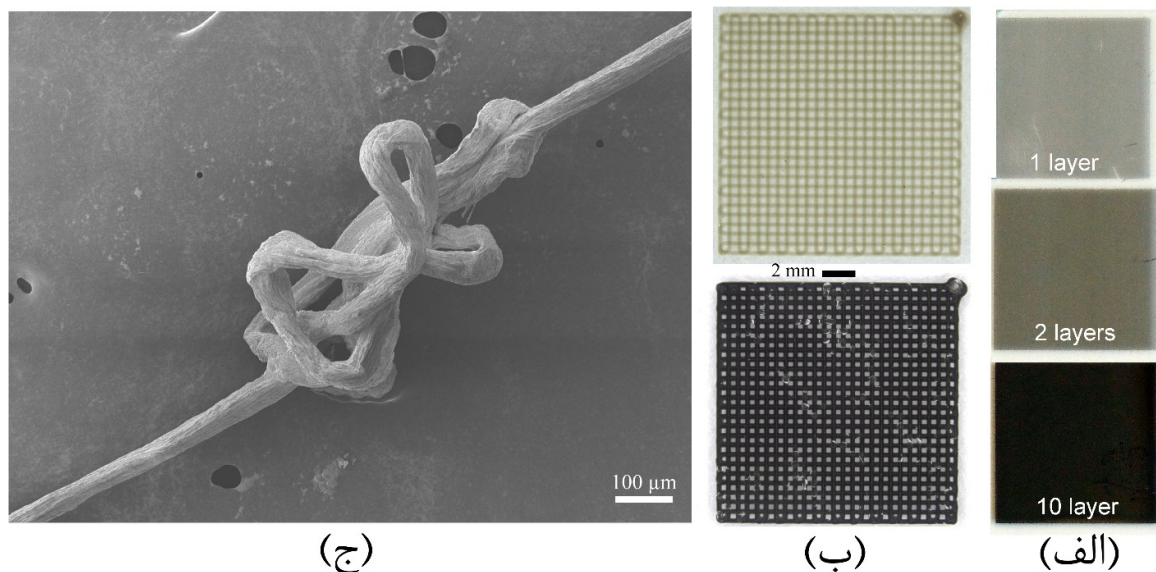
تعلیق در طی اعمال برش تغییر می‌کند. روند تغییرات گرانزوی برشی با زمان در سرعت‌های برش بسیار پایین (۰/۰۵ ° بر ثانیه) در شکل ۶. ج آورده شده است. همان طور که مشاهده می‌شود روند تغییرات گرانزوی با زمان به غلظت وابسته است. به طور کلی، در دستگاه‌های حاوی ذرات نامتقارن، تحت میدان‌های برشی شاهد آرایش یافته‌گی ذرات هستیم. در صورتی که ماده قابلیت تشکیل فازهای بلور مایع را داشته باشد، در زمان‌های ابتدایی از اعمال برش، اندازه فازهای بلور مایع بزرگ‌تر شده و همگی در راستای جریان آرایش می‌یابند. این موضوع منجر به مقاومت شاره در جهت برش و افزایش گرانزوی می‌شود. این روند افزایشی در غلظت‌های پایین نیز قابل مشاهده است و

نتیجه تصویر بهتری از چگونگی رفتار در فراوری این دستگاه‌ها به دست می‌آید. داده‌های به دست آمده از مدول انساطی نشان دهنده استحکام بالاتر در فصل مشترک هوا-مایع حتی در غلظت پایین شروع ناحیه دو فازی (۰/۰۵ گرم بر لیتر) است. نکته جالب اینجاست که حتی در ناحیه همسانگرد، در بسامدهای بالا مدول به میزان قابل توجهی افزایش می‌یابد. این موضوع نشان دهنده توانایی فراوری این ماده در بسامدهای بالاست.

رفتار فازهای اکسید گرافن در غلظت‌های مختلف میدان‌های برشی گذرا بسیار جالب توجه است (شکل ۶. ج). این رفتار نیز متأثر از نوع ساختار ذرات است. همچنین ساختار



شکل ۷. نمودار نسبت مدول‌های ذخیره به اتلاف بر حسب بسامد همراه با نواحی مناسب برای کاربردهای مختلف.



شکل ۸. تصاویر ساختارهایی به دست آمده از (الف) چاپ دو بعدی، (ب) چاپ سه بعدی و (ج) تریسی اکسید گرافن.

پس از رسیدن به مقداری بیشینه، میزان گرانروی روند کاهشی دارد. برای فازهای بلور مایع، با اعمال برش، ساختار به تنش تسليم رسیده و نواحی بلور مایع فرو می‌پاشد. این اتفاق همانند آرایش یافته‌گی در آنها زیاد می‌شود. در غلظت ۰/۲۵ گرم بر لیتر

(شکل ۷) و بر اساس آن ساختارهای دو فازی و بلور مایع اکسید گرافن با روش‌های مختلف صنعتی نظیر چاپ جوهر افshan، چاپ سه بعدی و تریسی فراوری شدند (شکل ۸).

۴. نتیجه‌گیری

طبق مطالعه انجام شده برای غلظت $0/01$ گرم بر لیتر، دستگاه به صورت همسانگرد است که در صورت اعمال میدان الکتریکی نواحی کوچکی از فازهای بلور مایع در نمونه ایجاد می‌شود. با افزایش غلظت دستگاه به غلظت $0/05$ گرم بر لیتر وارد ناحیه دو فازی (همسانگرد به همراه غیر همسانگرد) می‌شویم. در این نوع از ساختار مدول در نواحی با بسامد پایین افزایش قابل توجهی دارد که همین موضوع امکان استفاده از این دستگاه برای بعضی دستگاه‌های فراوری صنعتی را فراهم می‌کند. در غلظت $0/25$ گرم بر لیتر تغییر فاز به فاز کامل بلور مایع به وجود می‌آید و مدول در نواحی با بسامد پایین تقریباً مستقل از بسامد (شیب خط مماس $\sim 0/22$) است. در این ناحیه، امکان استفاده از روش‌های ساخت افزایشی نظیر تریسی و چاپ سه بعدی برای اکسید گرافن وجود دارد.

فرایندی است که در اختلاط یک دستگاه تحت برش اتفاق می‌افتد. این پدیده از برهم‌کنش و تماس متقابل بین فازهای بلور مایع در حالت نماتیک نشأت می‌گیرد. در ادامه روند تغییرات گرانزوی برشی با زمان در سرعت برش بالا (10° بر ثانیه) مورد مطالعه قرار گرفت (شکل ۶.د). تغییرات میزان گرانزوی در این سرعت برش برای همه غلظت‌ها (به دلیل تداخل منحنی‌ها فقط برای دو غلظت آورده شده است) به صورت نوسانی است. همان طور که اشاره شد، نواحی بلور مایع در میدان‌های برشی دچار تسلیم شده و میزان گرانزوی کاهش می‌یابد. با ادامه تنش، دستگاه به سمت بی‌نظمی (اختلاط ذرات و یکنواخت شدن) می‌رود. به نظر می‌رسد که این فرایند به دلیل میزان تنش منفی، به صورت خود به خودی انجام می‌شود. با ادامه برش، نواحی بلور مایع بار دیگر تشکیل شده و این امر منجر به افزایش گرانزوی می‌شود. این رفتار در فرایند تریسی بسیار اهمیت دارد. در طراحی و ساخت رشتہ‌ساز می‌بایست طول و قطر رشتہ‌ساز را به گونه‌ای انتخاب کرد که رشتہ‌ها در حالتی که بیشترین آرایش یافتنگی (نقطه بیشینه از گرانزوی) دارد منعقد و ریز ساختار آنها در حالت کاملاً آرایش یافته، ثابت شود. با استفاده از این داده‌ها، محلوده‌های مورد نیاز به منظور استفاده از روش‌های مختلف ساخت تبیین شد

مراجع

- Materials, **21**, 15 (2011) 2978.
- M M Gudarzi, S H Aboutalebi, and F Sharif, "Graphene oxide-based composite materials", Wiley (2016) 314.
- S Padmajan Sasikala, et al., Chemical Society Reviews **47**, 16 (2018) 6013.
- M J Abedin, et al., ACS Nano **13**, 8 (2019) 8957.
- S Naficy, et al., Materials Horizons **1**, 3 (2014) 326.
- R Jalili, et al., Advanced Functional Materials **23**, 43 (2013) 5345.
- F Ravera, G. Loglio, and V I Kovalchuk, Current Opinion in Colloid & Interface Science **15**, 4 (2010) 217.
- S H Aboutalebi, et al., Energy & Environmental Science **4**, 5 (2011) 1855.
- S H Aboutalebi, et al., Advanced Energy Materials **2**, 12 (2012) 1439.
- J Schindelin, et al., Nature Methods **9**, 7 (2012) 676.
- S H Aboutalebi, et al., ACS Nano **8**, 3 (2014) 2456.
- Expanding our 2D vision. Nature Reviews Materials **1**, 11 (2016) 16089.
- X Liu, et al., Nature Nanotechnology **15**, 4 (2020) 307.
- X Liu and M C Hersam, Nature Reviews Materials **4**, 10 (2019) 669.
- S H Aboutalebi, Processing graphene oxide and carbon nanotubes: routes to self-assembly of designed architectures for energy storage applications (2014).
- Y Zhang, L Zhang, and C Zhou, Accounts of Chemical Research **46**, 10 (2013) 2329.
- K S Novoselov, et al., Science **306**, 5696 (2004) 666.
- S Yang, et al., Advanced Materials **32**, 10 (2020) 1907857.
- J N Coleman, et al., Science **331**, 6017 (2011) 568.
- S H Aboutalebi, et al., Advanced Functional